

Delabie Seme 2023

Nicolas BEUVIN Ivan HASENOHR Chabane MEZIANE
Étienne PEILLON

21 avril 2023

Nicolas
BEUVIN,
Ivan HASE-
NOHR,
Chabane
MEZIANE,
Étienne
PEILLON

Introduction

Démarche

Cas eau-air

Cas air-air

Baisse limite de
pression

Simulations numériques

Conclusion

1 Introduction

2 Démarche

3 Simulations numériques

4 Conclusion

Nicolas
BEUVIN,
Ivan HASE-
NOHR,
Chabane
MEZIANE,
Étienne
PEILLON

Introduction

Démarche

Cas eau-air

Cas air-air

Baisse limite de
pression

Simulations numériques

Conclusion

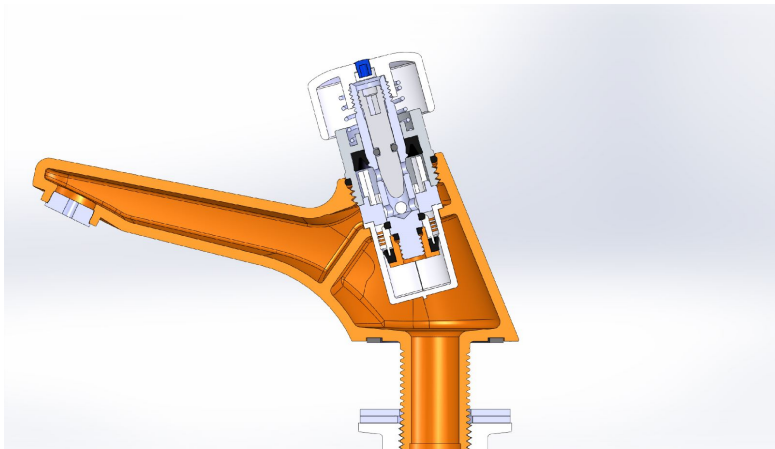


Figure – Coupe de robinet

Nicolas
BEUVIN,
Ivan HASE-
NOHR,
Chabane
MEZIANE,
Étienne
PEILLON

Introduction

Démarche

Cas eau-air

Cas air-air

Baisse limite de
pression

Simulations
numériques

Conclusion

1 Introduction

2 Démarche

3 Simulations numériques

4 Conclusion

Nicolas
BEUVIN,
Ivan HASE-
NOHR,
Chabane
MEZIANE,
Étienne
PEILLON

Introduction

Démarche

Cas eau-air

Cas air-air

Baisse limite de
pression

Simulations
numériques

Conclusion

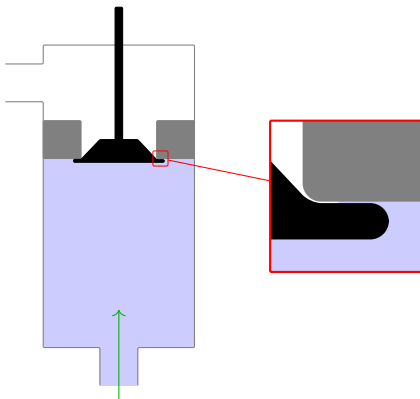


Schéma de principe

Nicolas
BEUVIN,
Ivan HASE-
NOHR,
Chabane
MEZIANE,
Étienne
PEILLON

Introduction

Démarche

Cas eau-air

Cas air-air

Baisse limite de
pression

Simulations
numériques

Conclusion

① Introduction

② Démarche

Cas eau-air

Cas air-air

Baisse limite de pression

③ Simulations numériques

④ Conclusion

Nicolas
BEUVIN,
Ivan HASE-
NOHR,
Chabane
MEZIANE,
Étienne
PEILLON

Introduction

Démarche

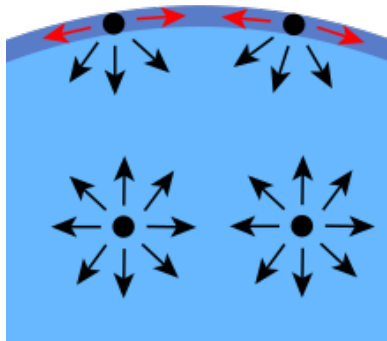
Cas eau-air

Cas air-air

Baisse limite de
pression

Simulations
numériques

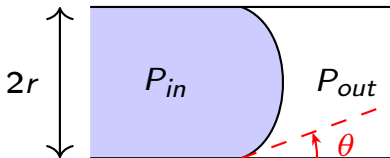
Conclusion

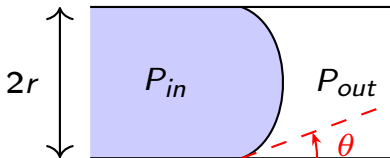


Interactions des molécules

Loi de Laplace

Cas d'une fuite dans un capillaire





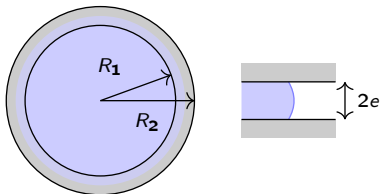
$$\Delta P = \frac{2\gamma \cos \theta}{r},$$

où :

- $\Delta P = P_{in} - P_{out}$, avec P_{in} la pression du liquide, P_{out} la pression du gaz
- γ est la valeur de la *tension superficielle* du liquide
- θ est l'*angle de contact* entre l'interface et le bord
- r est le *rayon du capillaire*.

Loi de Laplace

Cas d'une fuite circulaire



Introduction

Démarche

Cas eau-air

Cas air-air

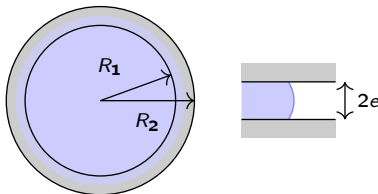
Baisse limite de
pression

Simulations
numériques

Conclusion

Loi de Laplace

Cas d'une fuite circulaire



$$\Delta P = \frac{\gamma \cos \theta}{e},$$

où :

- $\Delta P = P_{in} - P_{out}$, avec P_{in} la pression du liquide, P_{out} la pression du gaz
- γ est la valeur de la tension superficielle du liquide
- θ est l'angle de contact entre l'interface et le bord
- e est la largeur de la fuite.

Nicolas
BEUVIN,
Ivan HASE-
NOHR,
Chabane
MEZIANE,
Étienne
PEILLON

Introduction

Démarche

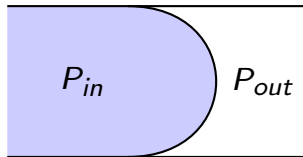
Cas eau-air

Cas air-air

Baisse limite de
pression

Simulations
numériques

Conclusion



Nicolas
BEUVIN,
Ivan HASE-
NOHR,
Chabane
MEZIANE,
Étienne
PEILLON

Introduction

Démarche

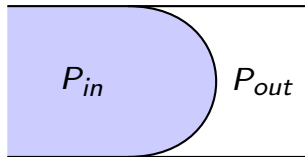
Cas eau-air

Cas air-air

Baisse limite de
pression

Simulations
numériques

Conclusion



L'angle de contact de limite est $\theta = 0^\circ$.

Dans ce cas, le rayon limite est

$$r_{seuil} = \frac{2\gamma}{\Delta P}$$

Nicolas
BEUVIN,
Ivan HASE-
NOHR,
Chabane
MEZIANE,
Étienne
PEILLON

Introduction

Démarche

Cas eau-air

Cas air-air

Baisse limite de
pression

Simulations
numériques

Conclusion

① Introduction

② Démarche

Cas eau-air

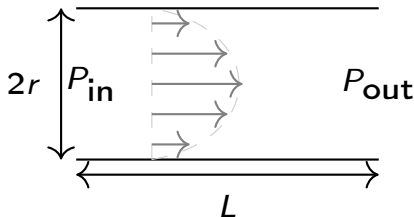
Cas air-air

Baisse limite de pression

③ Simulations numériques

④ Conclusion

Écoulement de Poiseuille



Écoulement de Poiseuille dans un capillaire de rayon r et de longueur L d'un fluide de *viscosité dynamique* μ :

$$\Delta P = P_{in} - P_{out} = \frac{8 \mu L}{\pi r^4} D_V.$$

Dans le cas du capillaire, on obtient la formule suivante :

$$\delta P = r^4 \frac{\Delta P \rho_{\text{in}} \Delta t}{L V} \frac{\pi R_p T}{8 M_{\text{air}}}$$

Introduction

Démarche

Cas eau-air

Cas air-air

Baisse limite de
pression

Simulations
numériques

Conclusion

Dans le cas du capillaire, on obtient la formule suivante :

$$\delta P = r^4 \frac{\Delta P \rho_{\text{in}} \Delta t}{L V} \frac{\pi R_p T}{8 M_{\text{air}}}$$

Dans le cas de fuites circulaires sur le joint, on obtient la formule suivante :

$$\delta P = e^3 \frac{\Delta P \Delta t (R_1 + R_2)}{V (R_2 - R_1)} \cdot \frac{\pi \rho_{\text{in}} R_p T}{4 \mu M_{\text{air}}}$$

Dans le cas du capillaire, on obtient la formule suivante :

$$\delta P = r^4 \frac{\Delta P \rho_{\text{in}} \Delta t}{L V} \frac{\pi R_p T}{8 M_{\text{air}}}$$

Dans le cas de fuites circulaires sur le joint, on obtient la formule suivante :

$$\delta P = e^3 \frac{\Delta P \Delta t (R_1 + R_2)}{V (R_2 - R_1)} \cdot \frac{\pi \rho_{\text{in}} R_p T}{4 \mu M_{\text{air}}}$$

Typiquement, pour des valeurs de $\delta P = 30 \text{ Pa}$, $L \simeq 0.5 \text{ mm}$ et $V \simeq 50 \text{ cm}^3$, on obtient :

$$r = 63 \mu\text{m}.$$

Nicolas
BEUVIN,
Ivan HASE-
NOHR,
Chabane
MEZIANE,
Étienne
PEILLON

Introduction

Démarche

Cas eau-air

Cas air-air

**Baisse limite de
pression**

Simulations
numériques

Conclusion

① Introduction

② Démarche

Cas eau-air

Cas air-air

Baisse limite de pression

③ Simulations numériques

④ Conclusion

Pour le cas du capillaire, on obtient la formule suivante :

$$\delta P_{\text{seuil}} = \frac{\rho_{\text{in}} \Delta t}{\Delta P^3 L V} \frac{2\pi \gamma^4 R_p T}{\mu M_{\text{air}}}$$

Introduction

Démarche

Cas eau-air

Cas air-air

**Baisse limite de
pression**

Simulations
numériques

Conclusion

Pour le cas du capillaire, on obtient la formule suivante :

$$\delta P_{\text{seuil}} = \frac{\rho_{\text{in}} \Delta t}{\Delta P^3 L V} \frac{2\pi \gamma^4 R_p T}{\mu M_{\text{air}}}$$

Dans le cas de fuites circulaires sur le joint, on obtient la formule :

$$\delta P_{\text{seuil}} = \frac{\rho_{\text{in}} \Delta t (R_1 + R_2)}{\Delta P^2 V (R_2 - R_1)} \frac{\pi \gamma^3 R_p T}{4\mu M_{\text{air}}}$$

Nicolas
BEUVIN,
Ivan HASE-
NOHR,
Chabane
MEZIANE,
Étienne
PEILLON

Introduction

Démarche

Cas eau-air

Cas air-air

Baisse limite de
pression

Simulations
numériques

Conclusion

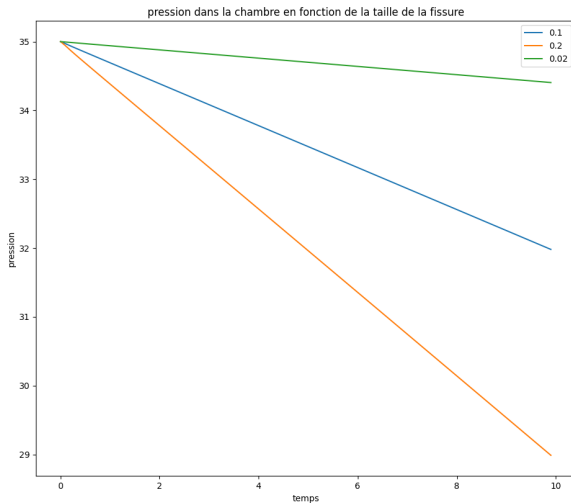
1 Introduction

2 Démarche

3 Simulations numériques

4 Conclusion

Simulations numériques air-air



Nicolas
BEUVIN,
Ivan HASE-
NOHR,
Chabane
MEZIANE,
Étienne
PEILLON

Introduction

Démarche

Cas eau-air

Cas air-air

Baisse limite de
pression

Simulations
numériques

Conclusion

1 Introduction

2 Démarche

3 Simulations numériques

4 Conclusion

Nicolas
BEUVIN,
Ivan HASE-
NOHR,
Chabane
MEZIANE,
Étienne
PEILLON

Introduction

Démarche

Cas eau-air

Cas air-air

Baisse limite de
pression

Simulations
numériques

Conclusion

Perspectives :

- numériques :

Perspectives :

- numériques :
 - extension du modèle numérique actuel, afin de pouvoir prendre en compte des fentes de l'ordre du μm , et résoudre numériquement le problème complet

Perspectives :

- numériques :
 - extension du modèle numérique actuel, afin de pouvoir prendre en compte des fentes de l'ordre du μm , et résoudre numériquement le problème complet
 - extension à des chambres de configurations variées, avec un nombre de fuites potentielles plus élevé

Perspectives :

- numériques :
 - extension du modèle numérique actuel, afin de pouvoir prendre en compte des fentes de l'ordre du μm , et résoudre numériquement le problème complet
 - extension à des chambres de configurations variées, avec un nombre de fuites potentielles plus élevé
- théoriques :

Perspectives :

- numériques :
 - extension du modèle numérique actuel, afin de pouvoir prendre en compte des fentes de l'ordre du μm , et résoudre numériquement le problème complet
 - extension à des chambres de configurations variées, avec un nombre de fuites potentielles plus élevé
- théoriques :
 - prise en compte plus fine des phénomènes physiques : équation de Van Der Waals, loi de Hertz-Knudsen...

Perspectives :

- numériques :
 - extension du modèle numérique actuel, afin de pouvoir prendre en compte des fentes de l'ordre du μm , et résoudre numériquement le problème complet
 - extension à des chambres de configurations variées, avec un nombre de fuites potentielles plus élevé
- théoriques :
 - prise en compte plus fine des phénomènes physiques : équation de Van Der Waals, loi de Hertz-Knudsen...
 - prise en compte de l'évaporation dans le cas de l'eau chaude